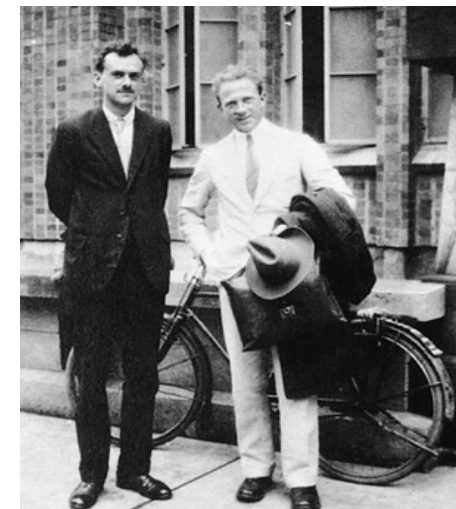
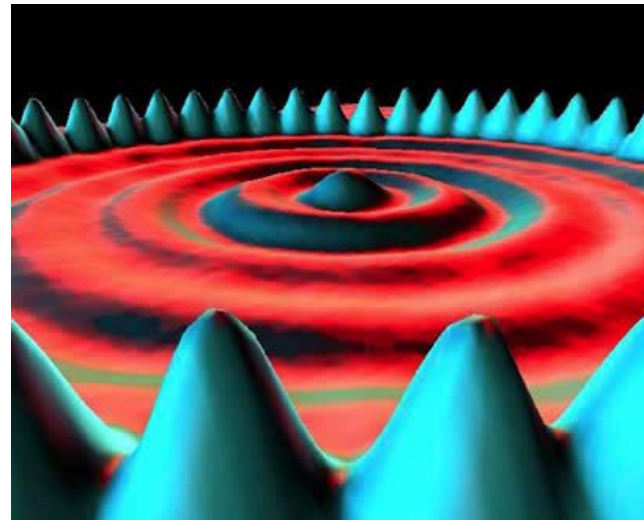
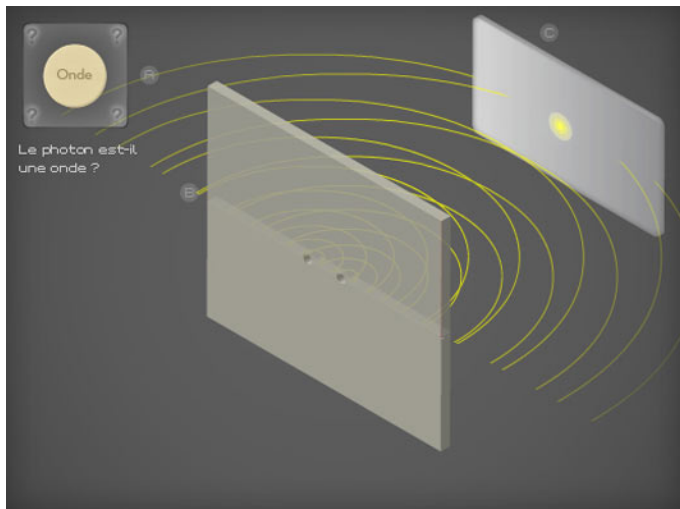


MECANIQUE QUANTIQUE

- P. Foury, Laboratoire de Physique des Solides
- tel. : 01 69 15 60 55
- email : pascale.foury@u-psud.fr



MECANIQUE ONDULATOIRE DE SCHRODINGER

Rappel de cours

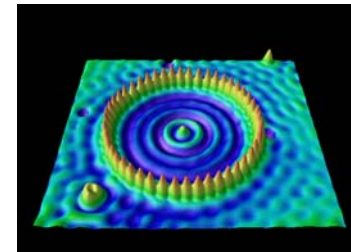
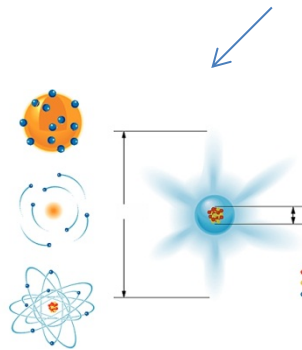
1) Dualité onde-corpuscule :

Particule
E, P

Onde

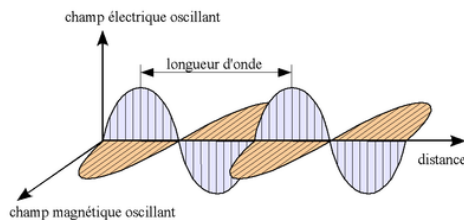
$k, \lambda, \omega(\nu)$ tel

$E = \hbar\omega = h\nu$ et $\lambda = h/p$ ou $\vec{P} = \hbar\vec{k}$
(même que pour un photon)



2) Mvt d'1 particule associé à une onde = Etat d'un système physique = postulat 1

$\Psi(\vec{r}, t)$: fonction d'onde



→ Complexe

→ Univoque ($r, t \rightarrow \Psi(\vec{r}, t)$)

→ Bornée $|\Psi(\vec{r}, t)|^2$ est une quantité définie

→ De carré sommable

→ $\Psi(\vec{r}, t)$ et $\Psi(\vec{r}, t)'$ sont continues car $\Psi(\vec{r}, t)''$ intervient dans S

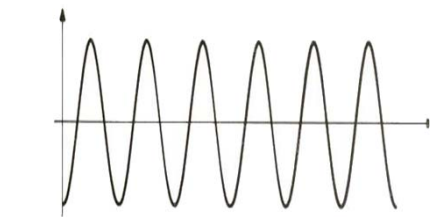
→ $|\Psi(\vec{r}, t)|^2 dr = dP$: **Probabilité de présence** ($\int |\Psi(\vec{r}, t)|^2 dr = 1$)

→ $|\Psi(\vec{r}, t)|^2$: **Densité de Probabilité de présence**

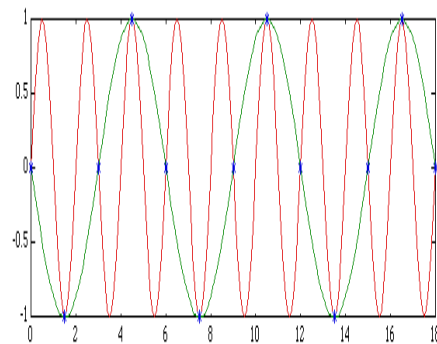
3) Onde plane progressive dans la direction x croissant : $\psi(x, t) = Ae^{i(kx - \omega t)}$

Paquet d'onde : Somme d'ondes planes :

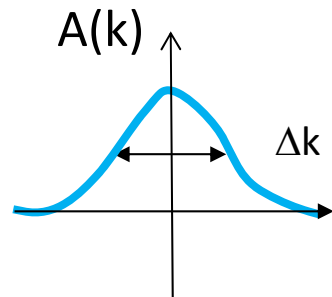
$$\psi(x, t) = \sum_k A(k)e^{i(kx - \omega t)}$$



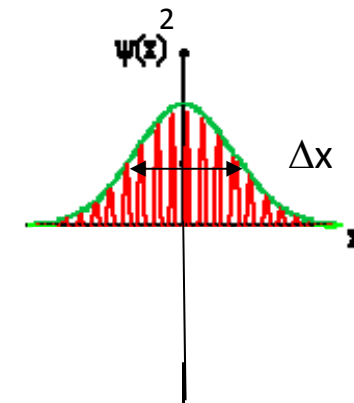
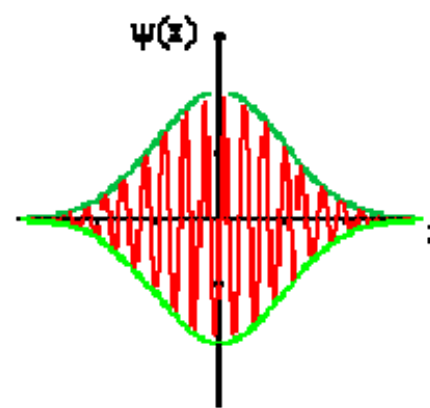
1 OP



2 OP



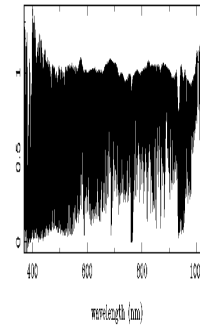
N OP
d'enveloppe
 $A(k)$



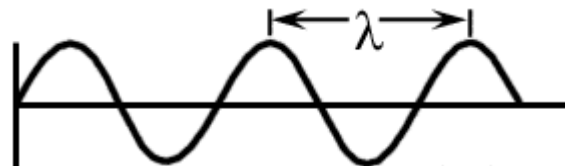
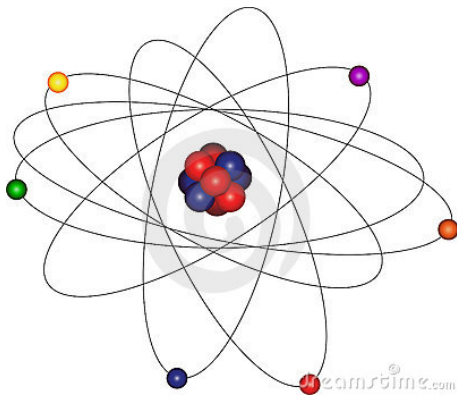
$$\Delta x \Delta k \geq \hbar$$

Ordre de grandeur : $\lambda = \frac{h}{p}$

Si objet macroscopique : $p \nearrow$ donc $\lambda \searrow \rightarrow$ on ne voit pas osciller la fonction d'onde

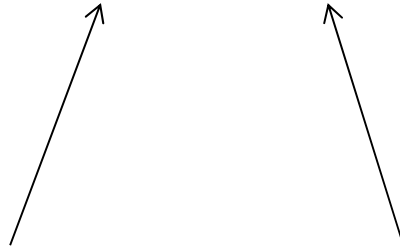


Si objet microscopique : électron $p \searrow$ et $\lambda = 12.5 \text{ \AA}$



4) Postulat 3 : Evolution de $\Psi(\vec{r}, t) \rightarrow$ EQUATION DE SCHRODINGER dépendant de t

$$-\frac{\hbar^2}{2m} \Delta \psi(\vec{r}, t) + V(\vec{r}, t) \psi(\vec{r}, t) = i\hbar \frac{\partial \psi(\vec{r}, t)}{\partial t}$$



Energie cinétique

Energie potentielle



$$\text{A 1D : } \left[-\frac{\hbar^2}{2m} \frac{\partial^2}{\partial x^2} + V(x, t) \right] \psi(x, t) = i\hbar \frac{\partial}{\partial t} \psi(x, t)$$

Quelques exemples

a) **Systèmes conservatifs/états stationnaires** → Energie totale $E_c + E_p = \text{constante}$

On considère V indép. de t

On cherche des solutions sous la forme $\psi(\vec{r}, t) = \varphi(x) f(t)$

$$\left[-\frac{\hbar^2}{2m} \frac{d^2}{dx^2} + V(x) \right] \varphi(x) f(t) = i\hbar \varphi(x) \frac{df}{dt}$$

$$\left[-\frac{\hbar^2}{2m} \frac{d^2 \varphi(x)}{dx^2} + V(x) \varphi(x) \right] f(t) = i\hbar \varphi(x) \frac{df}{dt}$$

$$\left[-\frac{\hbar^2}{2m} \frac{d^2 \varphi(x)}{dx^2} + V(x) \varphi(x) \right] / \varphi(x) = i\hbar \frac{df}{f(t) dt} = \text{cst} = E$$

$$i\hbar \frac{f'}{f(t)} = E$$

$$\frac{f'}{f(t)} = \frac{E}{i\hbar} dt = -i \frac{E}{\hbar} dt$$

$$\ln(f(t)) = -i \frac{E}{\hbar} t + C$$

$$f(t) = C e^{-iEt/\hbar}$$

$$\psi(\vec{r}, t) = \varphi(x) e^{-iEt/\hbar}$$

Avec $\varphi(x)$ vérifie :

$$\left[-\frac{\hbar^2}{2m} \frac{\partial^2}{\partial x^2} + V(x) \right] \varphi(x) = E \varphi(x)$$

Etats stationnaires \neq indép. de t mais
 $|\psi(\vec{r}, t)|^2 = |\varphi(x)|^2$

b) Particule libre : $V=0$

$$\text{\AA 1D} \quad -\frac{\hbar^2}{2m} \frac{\partial^2 \psi(x, t)}{\partial x^2} = i\hbar \frac{\partial \psi(x, t)}{\partial t}$$

$$\text{Si } \psi(x, t) = Ae^{i(kx - \omega t)}$$

$$\neq \psi(x, t) = Ae^{-i(kx - \omega t)}$$

$$\frac{\partial \psi(x, t)}{\partial t} = -i\omega \psi$$

$$\frac{\partial \psi(x, t)}{\partial x} = ikAe^{i(kx - \omega t)}$$

Et

$$\frac{\partial^2 \psi}{\partial x^2} = -k^2 \psi$$

$$-\frac{\hbar^2}{2m} (-k^2 \psi) = i\hbar (-i\omega \psi)$$

$$\frac{\hbar^2 k^2}{2m} = \hbar \omega = \frac{p^2}{2m} = E$$

RESOLUTION DE L'EQUATION DE SCHRODINGER **INDEPENDANTE** DE t

$$-\frac{\hbar^2}{2m} \frac{\partial^2 \varphi(x)}{\partial x^2} + V(x)\varphi(x) = E\varphi(x)$$

Ou

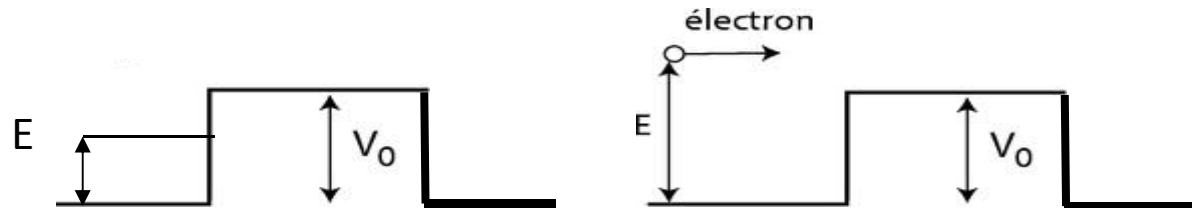
$$\frac{\partial^2 \varphi(x)}{\partial x^2} + \frac{2m}{\hbar^2} (E - V(x))\varphi(x) = 0$$

- Equation diff. du second ordre sans terme en $\frac{\partial \varphi(x)}{\partial x}$
- On ne sait la résoudre que si $V = \text{cste}$

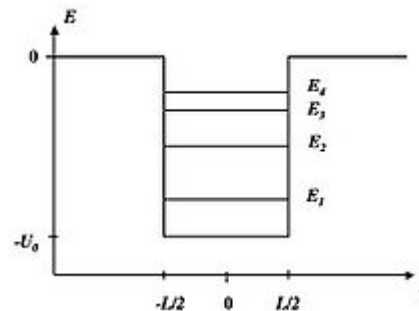
Marche



La barrière

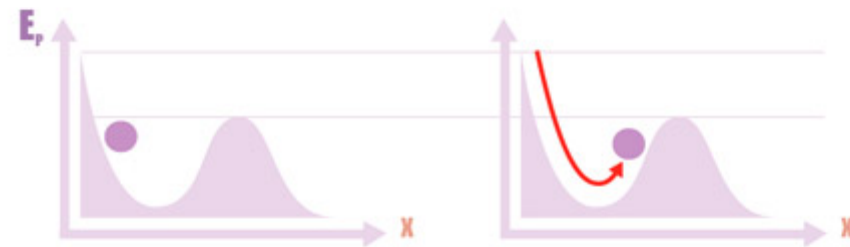
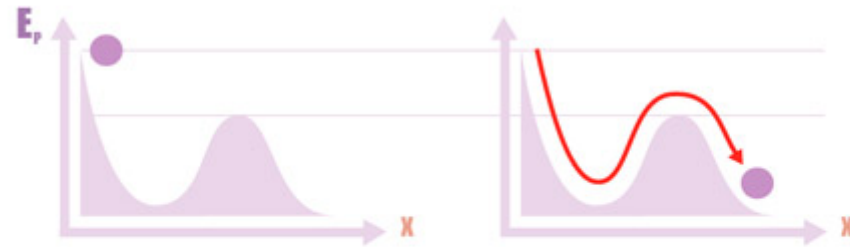


Le puits



Comparaison classique / quantique pour la barrière

EN MECANIQUE CLASSIQUE



EN MECANIQUE QUANTIQUE



Que se passe-t-il a une discontinuité de potentiel?

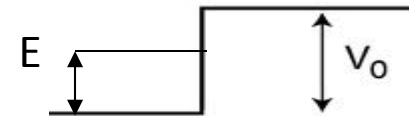
a) Discontinuité finie de potentiel :

$|\psi|^2$ continu $\rightarrow \psi$ continue

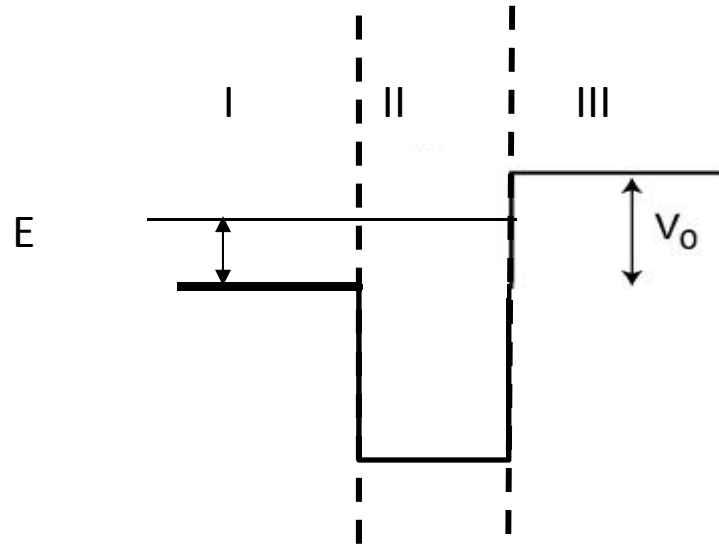
ψ' continue car ψ'' est dans S

b) Discontinuité infinie de potentiel :

$\psi(x_{\text{bord}})=0$



Résolution de S indépendante de t : Cas général



1) Ecrire équation de S dans chaque région : $-\frac{\hbar^2}{2m} \frac{\partial^2 \varphi_i(x)}{\partial x^2} + V(x) \varphi_i(x) = E \varphi_i(x)$

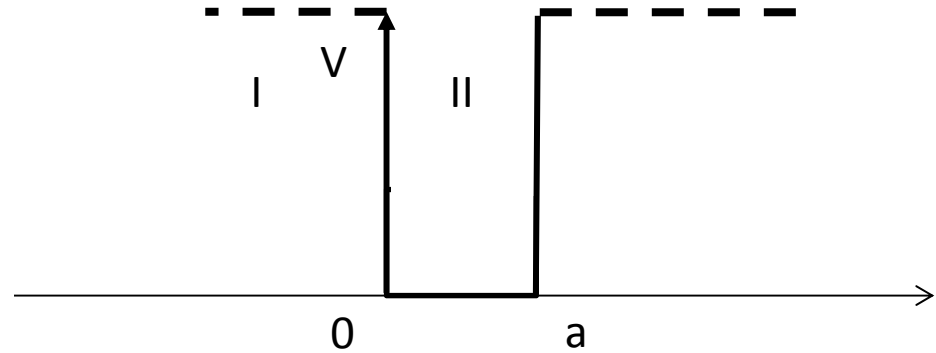
2) Ecrire la solution générale de chaque équation dans chaque région \rightarrow on introduit 2 constantes

3) Simplifier les solutions générales = supprimer des constantes = du bon sens

4) Sur chaque discontinuité appliquer les règles précédentes: conditions aux limites

Puits de potentiel carré infini

Pour $0 < x < a$ $V(x) = 0$



$$1) -\frac{\hbar^2}{2m} \frac{\partial^2 \varphi(x)}{\partial x^2} = E \varphi(x)$$

2) Solution générale : $\varphi(x) = A \sin(kx + \eta)$ (2 constantes A et η)

3) Conditions aux limites : $\varphi(x = 0) = \varphi(x = a) = 0$ ($\varphi(x < 0) = 0 = \varphi(x > a)$)

$$\varphi(x = 0) \rightarrow \eta = 0 \quad \text{et} \quad \varphi(x = a) = A \sin(ka) = 0 \rightarrow ka = n\pi$$

$$\varphi(x) = A \sin(kx) \text{ avec } k_n = \frac{n\pi}{a}$$

$$\text{Or } k_n^2 = \frac{2mE_n}{\hbar^2}$$

$$\rightarrow E_n = \frac{\hbar^2 k_n^2}{2m} = n^2 \frac{\hbar^2 \pi^2}{2ma^2}$$

Puits de potentiel carré infini : Solutions ($E_n = \frac{\hbar^2 k_n^2}{2m} = n^2 \frac{\hbar^2 \pi^2}{2ma^2}$)

Niveau fondamental : $n=1$

$$E_1 = \frac{\hbar^2 \pi^2}{2ma^2}$$

$$\varphi(x) = A \sin\left(\frac{\pi}{a} x\right)$$

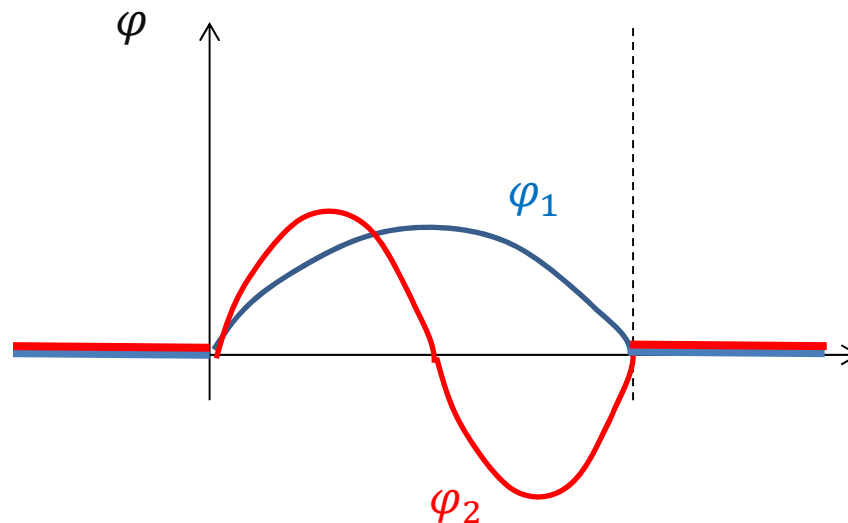
$$a=10^{-10}\text{m} \rightarrow E_1 = \frac{\pi^2 (1,054 \cdot 10^{-34})^2}{2 \cdot 0,9 \cdot 10^{-30} \cdot 10^{-20} \cdot 1,6 \cdot 10^{-19}} = 38\text{eV}$$

Premier niveau excité : $n=2$

$$E_2 = \frac{4\hbar^2 \pi^2}{2ma^2} = 4E_1$$

$$\varphi(x) = A \sin\left(\frac{2\pi}{a} x\right)$$

$$E_2 = 152\text{ eV}$$



Puits de potentiel carré infini : Solutions

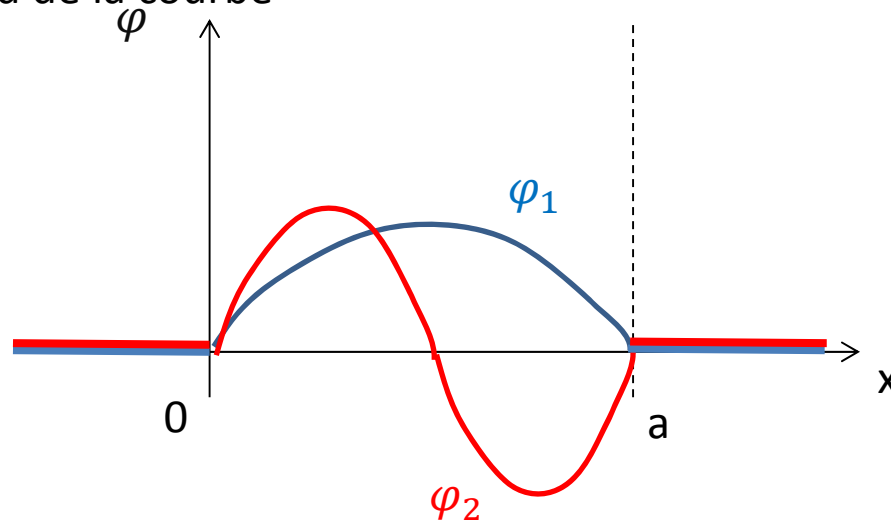
$$P_{0 \rightarrow a} = \int_{-\infty}^{\infty} |\varphi_2(x)|^2 dx = 1$$

$$P_{0 \rightarrow a} = 1 = \int_0^a |\varphi_1(x)|^2 dx = \int_0^a |A|^2 \sin^2 \frac{\pi x}{a} dx = 1 = |A|^2 \int_0^a \frac{1 - \cos \frac{2\pi x}{a}}{2} dx = |A|^2 \frac{a}{2}$$

$$\rightarrow |A| = \sqrt{\frac{2}{a}}$$

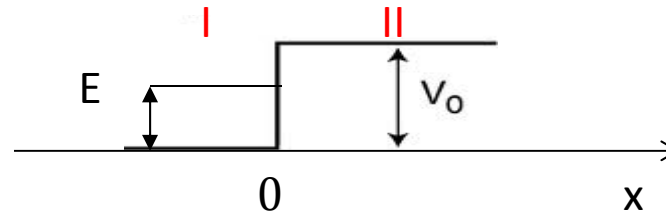
$$P_{0 \rightarrow a/2} = \int_0^{a/2} |\varphi_2(x)|^2 dx = \frac{2}{a} \int_0^{a/2} \sin^2 \frac{2\pi x}{a} dx = \frac{2}{a} \int_0^{a/2} \frac{1 - \cos \frac{4\pi x}{a}}{2} dx = \frac{1}{2}$$

Comme intuité au regard de la courbe



La marche de potentiel à 1D

Marche



$E > V_0 \rightarrow$ seul cas en méca classique

Description classique :

1 onde incidente et 1 transmise : $v_I = \sqrt{\frac{2E}{m}}$ et $v_{II} = \sqrt{\frac{2(E-V_0)}{m}}$

Car $\frac{p^2}{2m} = E$ ou $\frac{p^2}{2m} = E - V_0$

Description quantique : réflexion partielle+transmission

Région I : $k_I^2 = \frac{2mE}{\hbar^2}$

$$\frac{\partial^2 \varphi_I(x)}{\partial x^2} + \frac{2mE}{\hbar^2} \varphi_I(x) = 0$$

$$\varphi_I = Ae^{ik_I x} + Be^{-ik_I x}$$

Région II : $k_{II}^2 = \frac{2m(E-V_0)}{\hbar^2}$

$$\frac{\partial^2 \varphi_{II}(x)}{\partial x^2} + \frac{2m(E-V_0)}{\hbar^2} \varphi_{II}(x) = 0$$

$$\varphi_{II} = Ce^{ik_{II} x} + D e^{-ik_{II} x}$$

La marche de potentiel à 1D

$$\left\{ \begin{array}{l} A+B=C \\ ik_I(A-B) = ik_{II}C \end{array} \right.$$

φ continu
 φ' continu

$$1 + \frac{B}{A} = \frac{C}{A}$$

$$1 - \frac{B}{A} = \frac{k_{II}}{k_I} \frac{C}{A}$$

$$2 = \frac{C}{A} \left(1 + \frac{k_{II}}{k_I}\right)$$

$$\frac{C}{A} = \frac{2}{1 + \frac{k_{II}}{k_I}} \rightarrow R = \left| \frac{B}{A} \right|^2$$

$$\frac{B}{A} = \frac{C}{A} - 1 = \frac{2}{1 + \frac{k_{II}}{k_I}} - 1 = \frac{2 - 1 - \frac{k_{II}}{k_I}}{1 + \frac{k_{II}}{k_I}} = \frac{1 - \frac{k_{II}}{k_I}}{1 + \frac{k_{II}}{k_I}} = \frac{k_I - k_{II}}{k_I + k_{II}}$$

$$\frac{B}{A} = \frac{k_I - k_{II}}{k_I + k_{II}} \rightarrow T = 1 - R = 1 - \left(\frac{k_I - k_{II}}{k_I + k_{II}} \right)^2 = \frac{4k_I k_{II}}{(k_I + k_{II})^2} = \left| \frac{C}{A} \right|^2 \frac{k_{II}}{k_I}$$

$$\varphi_I = Ae^{ik_I x} + Be^{-ik_I x}$$

$$\varphi_{II} = Ce^{ik_{II} x} + \cancel{De^{-ik_{II} x}}$$

La marche de potentiel à 1D :
Cas physique de la surface d'un matériaux pour un électron libre

$$E < V_0 \rightarrow E - V_0 < 0$$

Description quantique seule possible : Transmission possible

$$\text{Région I : } k_I = \sqrt{\frac{2mE}{\hbar^2}}$$

$$\frac{\partial^2 \varphi_I(x)}{\partial x^2} + \frac{2mE}{\hbar^2} \varphi_I(x) = 0$$

$$\varphi_I = Ae^{ikx} + Be^{-ikx}$$

$$\text{Région II : } k_{II} = \sqrt{\frac{2m(V_0 - E)}{\hbar^2}}$$

$$\frac{\partial^2 \varphi_{II}(x)}{\partial x^2} + \frac{2m(E - V_0)}{\hbar^2} \varphi_{II}(x) = 0$$

$$\varphi_{II} = Ce^{-K_{II}x} + \cancel{De^{K_{II}x}}$$

$$\varphi_I(0) = \varphi_{II}(0)$$

$$\varphi'_I(0) = \varphi'_{II}(0)$$

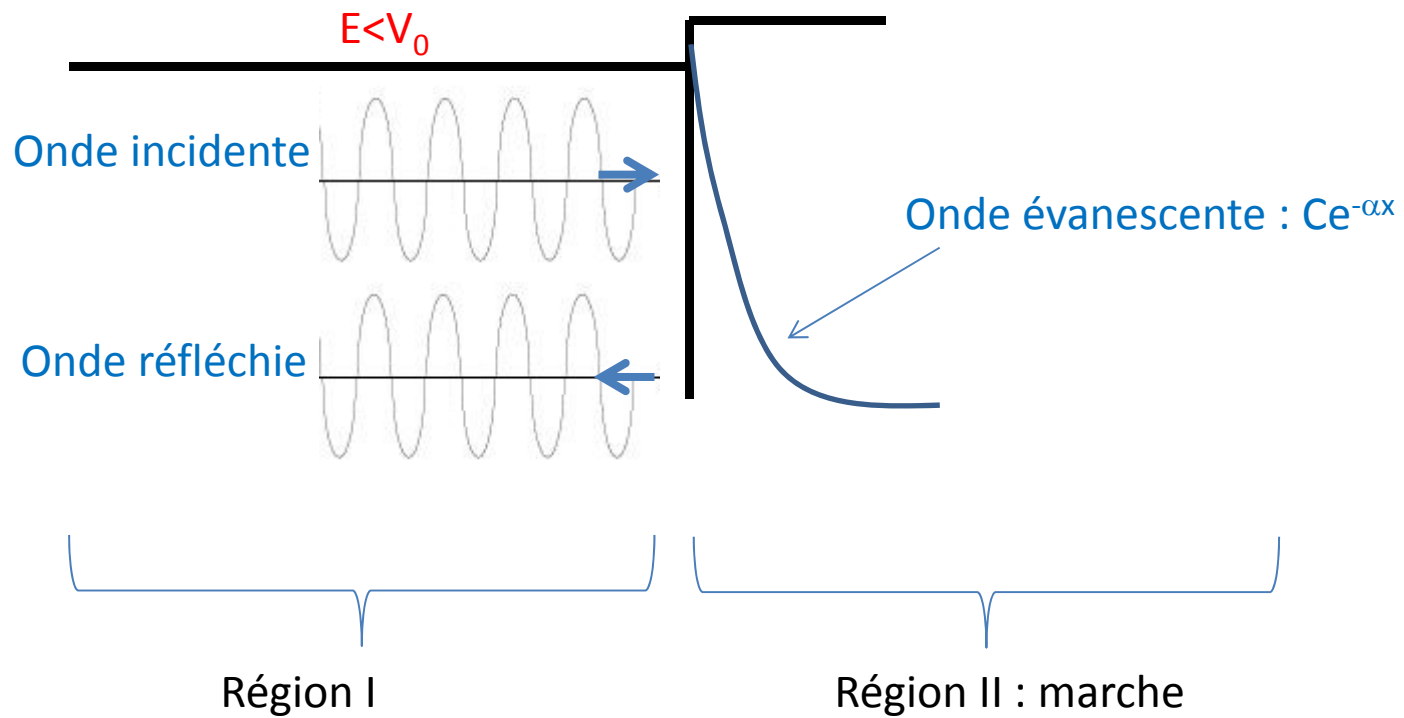
$$\left. \begin{aligned} A+B &= C \\ ik(A-B) &= -\alpha C \\ 1 + \frac{B}{A} &= \frac{C}{A} \\ ik\left(1 - \frac{B}{A}\right) &= -\alpha \frac{C}{A} \end{aligned} \right\}$$

$$ik\left(2 - \frac{C}{A}\right) = -\alpha \frac{C}{A} \rightarrow \frac{C}{A}(ik - \alpha) = 2ik$$

$$\frac{C}{A} = \frac{2k}{k+i\alpha} \quad \text{et} \quad \frac{B}{A} = \frac{k-i\alpha}{k+i\alpha}$$

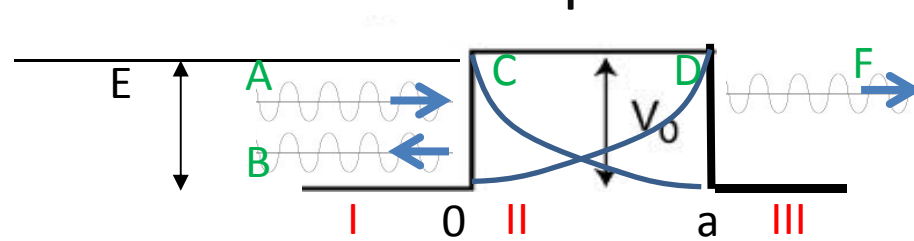
$$R = \left| \frac{B}{A} \right|^2 = 1$$

$$\rightarrow R+T=1 \rightarrow T=0$$



Même chose avec une barrière finie de potentiel
 → Effet tunnel

Facteur de transmission d'une barrière de potentiel : Application au microscope à effet tunnel ou STM



$$k = \sqrt{\frac{2mE}{\hbar^2}}$$

$$K^2 = \frac{2m(-E + V_0)}{\hbar^2}$$

1) Région I : $\frac{\partial^2 \varphi_I(x)}{\partial x^2} + \frac{2mE}{\hbar^2} \varphi_I(x) = 0$

$$\varphi_I = Ae^{ikx} + Be^{-ikx}$$

$$\varphi'_I = ik(Ae^{ikx} - Be^{-ikx})$$

Région II : $\frac{\partial^2 \varphi_{II}(x)}{\partial x^2} + \frac{2m(E-V_0)}{\hbar^2} \varphi_{II}(x) = 0$

$$\varphi_{II} = Ce^{-Kx} + De^{Kx}$$

$$\varphi'_{II} = K(De^{Kx} - Ce^{-Kx})$$

Région III : $\frac{\partial^2 \varphi_{III}(x)}{\partial x^2} + \frac{2mE}{\hbar^2} \varphi_{III}(x) = 0$

$$\varphi_{III} = Fe^{ikx} + Ge^{-ikx}$$

$$\varphi'_{III} = ikFe^{ikx}$$

On pose A=1 et la

Continuité de φ et φ'

$$1+B=C+D$$

$$ik(1-B)=K(D-C)$$

$$Fe^{ika} = Ce^{-Ka} + De^{Ka}$$

$$K(De^{Ka} - Ce^{-Ka}) = ikFe^{ika}$$

$$\left\{ \begin{array}{l} 1+B=C+D \\ 1-B = i \frac{K}{k} (C-D) \\ Fe^{ika} = Ce^{-Ka} + De^{Ka} \\ -Fe^{ika} \frac{ik}{K} = Ce^{-Ka} - De^{Ka} \end{array} \right.$$

3) $ka \ll 1$ Barrière infiniment mince

$$e^{Ka} = 1 \text{ et } e^{ika} = 1$$

$$1+B=C+D$$

$$1-B = i \frac{K}{k} (C-D)$$

$$Fe^{ika} = Ce^{-Ka} + De^{Ka}$$

$$-Fe^{ika} \frac{ik}{K} = Ce^{-Ka} - De^{Ka}$$

$$\left\{ \begin{array}{l} 1+B=C+D \\ ik(1-B) = K(D-C) \\ F = C + D (= 1+B) \\ K(D-C) = ikF \end{array} \right. \rightarrow \left\{ \begin{array}{l} (1-B) = F \\ (1+B) = F \end{array} \right. \rightarrow \left\{ \begin{array}{l} 2 = 2F \rightarrow F = 1 \text{ et } B=0 \text{ car } A=1 \\ \text{La barrière n'existe pas} \\ T=1 : \text{ transmission totale} \end{array} \right.$$

4) $ka \gg 1$ Barrière infiniment épaisse (ou $K^2 = \frac{2m(-E+V_0)}{\hbar^2} \rightarrow$ soit $K \nearrow$ $V_0-E \nearrow$: marche haute ou $m \nearrow$ particule lourde)

$$e^{Ka} \gg 1 \text{ et } D \ll C$$

$$1+B=C$$

$$ik(1-B) = -KC$$

$$(1-B) = -\frac{K}{ik} C = i \frac{K}{k} C$$

$$2 = C \left(1 + i \frac{K}{k} \right)$$

$$\rightarrow C = \frac{2}{1 + i \frac{K}{k}}$$

$$k^2 + K^2 = \frac{2mE}{\hbar^2} + \frac{2m(V_0 - E)}{\hbar^2} = \frac{2mV_0}{\hbar^2}$$

$$k^2 K^2 = \frac{2m(V_0 - E)}{\hbar^2} \frac{2mE}{\hbar^2} = \frac{4m^2 E(V_0 - E)}{\hbar^4}$$

$$|F|^2 = \frac{16 \frac{4m^2 E(V_0 - E)}{\hbar^4} e^{-2Ka}}{\frac{4m^2 V_0^2}{\hbar^4}} = \frac{16E(V_0 - E)e^{-2Ka}}{V_0^2} = T$$

$$5) \quad T = \frac{4E(V_0 - E)}{4E(V_0 - E) + V_0^2 \operatorname{sh}^2 Ka}$$

$$Ka \ll 1 \quad \operatorname{sh} Ka = \frac{e^{Ka} - e^{-Ka}}{2}$$

$$e^{Ka} \approx e^{-Ka} = 1 \rightarrow \operatorname{sh} Ka = 0 \rightarrow T(E) \approx 1$$

$$Ka \gg 1 \quad \operatorname{sh} Ka = \frac{e^{Ka} - e^{-Ka}}{2} \approx \frac{e^{Ka}}{2}$$

$$T = \frac{4E(V_0 - E)}{4E(V_0 - E) + V_0^2 \operatorname{sh}^2 Ka} = \frac{4E(V_0 - E)}{4E(V_0 - E) + V_0^2 \frac{e^{2Ka}}{4}} \sim \frac{16E(V_0 - E)e^{-2Ka}}{V_0^2}$$

$$V_0 = 2\text{eV} \text{ et } E_0 = 1\text{eV} \quad T \sim \frac{16E(V_0 - E)e^{-2Ka}}{V_0^2}$$

$$T = \frac{16 \cdot 1 \cdot 1 \cdot e^{-2Ka}}{4}$$

$$K = \sqrt{\frac{2 \cdot 9 \cdot 10^{-31} (2 - 1) \cdot 1,6 \cdot 10^{-19}}{(1,054 \cdot 10^{-24})^2}} = 5,0888 \cdot 10^9$$

$$T = \frac{16}{4} e^{-2 \cdot 2,54} = 0,0246 = 2,46\%$$

$$Ka = 5,0888 \cdot 10^9 \cdot 5 \cdot 10^{-10} = 2,54 \gg 1!$$

$$\frac{\Delta T}{T} = -2K\Delta a \quad \Delta a = \frac{\Delta T}{T} \frac{1}{(-2K)} = -0,1 \frac{1}{-2 \cdot 5,09 \cdot 10^9} = 9,8 \cdot 10^{-12} \text{m} \approx 0,1 \text{\AA}$$

Calcul sans approx :

$$T = \frac{4 \cdot 1 \cdot 4}{4 \cdot 1 \cdot 1 + 4sh^2 \cdot 2,54} = 0,0245 = 2,45\%$$

→ APPLICATION MICROSCOPE a EFFET TUNEL